

関東学院大学 北野 義則
九州大学 栗谷 陽一

1. まえがき

線源からの気泡噴流についての性質は、ある程度知られており、中心流速は上昇高によらず一定値をもつ。気泡噴流幅は上昇高に比例する。気泡による曝気を行えば、微生物の働きにより、吸着性の強いフロクが形成され、このフロクに下水中の有機物などが吸着し、微生物により下水の酸化が行なわれ、そのフロクが最終沈殿池に移行して沈殿する。一般に曝気は有限幅を持つ散気装置から気泡と放出し、気泡噴流を形成する。しかし、その様子についてはあまり知られていない。この報告は散気板幅が気泡噴流にどのように影響するか調べたものである。

2. 理論

気泡噴流の基礎式は次の通りである。

$$\frac{\partial U}{\partial X} + \frac{\partial U}{\partial Y} = 0 \quad (1) \quad U \frac{\partial U}{\partial X} + U \frac{\partial U}{\partial Y} = Qg + \frac{\partial}{\partial Y} \left(I^2 \frac{\partial U}{\partial Y} \right) \quad (2) \quad (U+w) \frac{\partial U}{\partial X} + U \frac{\partial U}{\partial Y} = \frac{2}{g} \left(I^2 \frac{\partial U}{\partial Y} \right) \quad (3)$$

線源からの気泡噴流の近似は誤差分布と仮定して、その性質を十分知ることができる。ここで、この場合につけても流速分布 $U = U_0 e^{-\frac{Y^2}{A^2}}$ 、気泡密度分布 $\sigma = \sigma_0 e^{-\frac{Y^2}{B^2}}$ とし、混合距離 I は噴流幅に比例するとして $I = Eb$ と仮定する。これらを用いて基礎式に代入し、0次および1次テントをとる。

$$U = U_0 / w, \quad X = E^2 X / A_0, \quad A = A / A_0, \quad B = b / A_0, \quad S = g A_0 / E^2 w^3, \quad Q = g g / E^2 w^3$$

w : 気泡粒上昇速度 Q : 到達密度 g : 送水量 A_0 : 仕事の長さの次元

従って次元表示すると次の結果を得る。

$$\begin{aligned} \sqrt{2}UB \frac{dU}{dx} + \frac{1}{\sqrt{2}}U^2 B \frac{dB}{dx} &= AS \quad (4) \quad \frac{BAS}{(B^2+A^2)^{3/2}} \frac{dA}{dx} + \left\{ 1 + \frac{B^3}{(B^2+A^2)^{3/2}} U \right\} S \frac{dA}{dx} = 0 \\ (I+4)UB \frac{dU}{dx} + (I+2)BU^2 \frac{dB}{dx} &= 2\sqrt{2}\pi BU^2 + 4A^2S \quad (6) \quad + \left\{ 1 + \frac{B}{(B^2+A^2)^{1/2}} U \right\} A \frac{dS}{dx} \\ \left(\frac{B-A}{B} + \frac{BA}{B^2+A^2} \right) SB \frac{dU}{dx} + \left[\frac{B-A}{B} + \frac{BA(A^2-B^2)}{(B^2+A^2)^2} \right] SU \frac{dB}{dx} &+ 2 \left\{ 1 + \frac{B^4}{(B^2+A^2)^2} U \right\} S \frac{dA}{dx} \\ + \left\{ 1 + \frac{B^2}{B^2+A^2} U \right\} A \frac{dS}{dx} &= 2\sqrt{2}\pi \frac{B^3}{(B^2+A^2)^{3/2}} US \quad (7) \end{aligned}$$

$$(5) \text{の積分} \Rightarrow Q = \sqrt{\pi} AS \left(1 + \frac{B}{(B^2+A^2)^{1/2}} U \right) \quad (8)$$

$I=0$: 散気板直上より直接散気を行なうため、初期流速 $U_0=0$

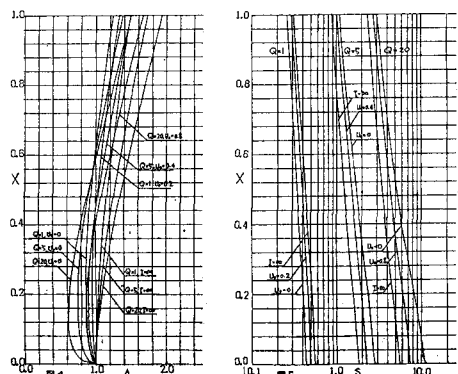
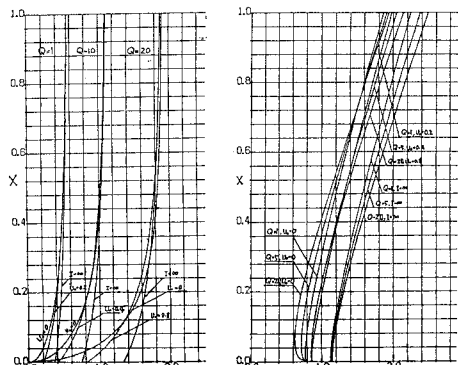
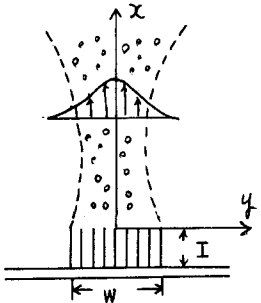
$$U = U_0 X^{1/2} + U_1 X^{1/2} + \dots \quad B = B_0 + B_1 X^{1/2} + \dots \quad A = A_0 + A_1 X^{1/2} + \dots \quad S = S_0 + S_1 X^{1/2} + \dots$$

$I=\infty$: 初期流速すなわち吸い込み速度がある。

$$U = U_0 + U_1 X + \dots \quad B = B_0 + B_2 X^2 + \dots \quad A = A_0 + A_1 X^2 + \dots \quad S = S_0 + S_1 X + \dots$$

これを基に基礎式に代入すれば各々関係式が得られ、 $I=0$ の場合は $Q \propto A_0$ 、 $I=\infty$ の場合は $Q \propto A_0^2$ となる。条件たとえば U_0 を与えれば数値計算を行なうことができる。なお A_0 は任意であるから $A_0=1$ としよ。計算結果を図2-I-5に示す。

3. 実験 図6に実験装置を示す。実験水槽は長さ4m、高さ1m、奥行き60cmの全面アクリル製の水槽を用いた。散気板は幅



$W=12\text{cm}$, 6cm の2種類を用い散気板直上より放出するまでの距離をもつて $I=0$ である。コアレーパーにより送気し、送気量はフローメータで計測した。フローメータ流速計と用いた散気装置より高さ $5, 10, 20, 35$,

50cm の位置で各々断面に沿って 1cm 間隔に流速分布を計測した。今回は気泡密度についての計測は行なわなかった。なぜかこれは粒田流を阻止するためのものである。

4. 対照

図2は流速についての数値計算結果であり、 $I=0$ のとき中心流速は 0.5 で、すこし運動量の増大に伴ない急激に加速され、その後ゆるやかに変化し、線源の側に漸近する。 $I=\infty$ のとき \bar{w} は W の高さにより依り、その速度は決定され、 W が大きくなるほど行くに従い初期流速は大きくなり $I=0$ の場合漸近して小さくなる。図3は流速幅を表したものである。 $I=0$ のとき流速が急激に加速されるため、初期には流速幅は減少するが、その後再び増大していくことになる。 $I=\infty$ のとき流速幅は減少することなく、ゆるやかに増大していくこととなり $I=0$ の幅の様子と大きく異なる。幅を $I=\infty$ の場合漸近していく。図4は気泡密度分布の幅を表したものである。 $I=0$ のとき流速幅と似た様子となるが、気泡が相対上昇速度をもつためゆるやかに変化となる。 $I=\infty$ の場合は流速幅とは異なり $I=0$ のときと同様初期には減少する。 $I=\infty$ の場合は流速幅と同様初期より増大する。気泡密度についても図5に示す。上昇とともに線源側に漸近する。実験結果の一例を図6に示す。これは散気装置 6cm を用いた例であり、流速が加速され、それに伴い流速幅の変化が表われている。流速及び流速幅について理論計算との比較を行なった結果を図8、図9に示す。 $I=0$ の場合、実験によって決定しなければならないものは $l=Eb$ の E と代表長さの A_0 である。 E については線源からの気泡噴流が定めた時の $E=0.3$ の場合 $E=0.3$ を使用することを考えられるので線源 2 の値 $E=0.3$ を用いることをとした。従って A_0 のみを今日の実験より定めた。次に今日は気泡密度分布について計測を行なったため $A_0=2$ は流速分布より粗く求めた。その結果 $A_0=4W=12\text{cm}$ と $A_0=5\text{cm}$ 、 $W=6\text{cm}$ のとき $A_0=2.5\text{cm}$ となつた。従って $A_0=0.42W$ となる。流速分布、流速幅とともに傾向的にはよく表わしうるが、比較的 $W=6\text{cm}$ の方が $W=12\text{cm}$ のときよりよく、すなはち送気量が多い程より信頼度となった。これは、初期に流速分布が台形分布を示しており、このことによると原因があると思われる。流速が速くなるほど気泡の滞留時間が短くなり、酸素吸収効率が低下する。従って同一送気量なら散気装置を広くするほうが効率は良いと考えらるが、もう一つの理由では起因後につけても合わせて考えなければならぬ。

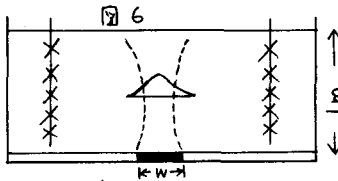


図6

